

## ПОДАВЛЕНИЕ ЭКСПРЕССИИ ГЕНА *KPILP* ПОВЫШАЕТ УСТОЙЧИВОСТЬ ТАБАКА К ВИРУСНОЙ ИНФЕКЦИИ

**Н.Е. Еришова<sup>1</sup>, Е.В. Шешукова<sup>1</sup>, К.А. Камарова<sup>1,2</sup>, Т.В. Комарова<sup>1,2</sup>**

<sup>1</sup> ФГБУН «Институт общей генетики им. Н.И. Вавилова» РАН, Москва, Россия

<sup>2</sup> ФГБОУ ВО «Московский государственный университет им. М.В. Ломоносова», Москва, Россия

### Введение

Инфекция вирусом табачной мозаики (ВТМ) начинается с попадания вирусных частиц в клетку растения через повреждения клеточной стенки. Затем происходит «раздевание» геномной РНК (гРНК) вируса и синтез неструктурных белков – компонентов репликазы. На следующем этапе начинается репликация и синтез субгеномных РНК (сгРНК), кодирующих транспортный белок и белок оболочки. Поскольку геном РНК вирусов растений ограничен по размеру, то он зачастую кодирует многофункциональные белки. Кроме того, для успешного заражения и распространения по растению вирусы приспособились использовать клеточные факторы растения-хозяина, создавая тем самым благоприятные условия как для межклеточного (ближнего) транспорта, так и для дальнего (системного) транспорта вирусных частиц по растению. При этом в ходе «гонки вооружений» между вирусом и хозяином, вирусы приобрели способность подавлять защитные механизмы, запускаемые клеткой. Успех системного распространения вирусной инфекции обеспечивается тремя повторяющимися процессами: накопление гРНК и образование транспортной нуклеопротеидной формы в зараженных клетках, ее межклеточное перемещение и, наконец, системный транспорт по всему растению. Межклеточный транспорт ВТМ обеспечивается неструктурным транспортным белком (ТБ) 30 кДа. Функция ТБ состоит во взаимодействии с клеточными компонентами и обеспечения межклеточного распространения вирусной инфекции [1]. Для транспорта гРНК в соседнюю клетку ТБ (а) участвует в увеличении пропускной способности межклеточных симплластных каналов – плазмодесм (ПД), (б) локализуется в ПД и перемещается в соседнюю клетку, и (в) способен связывать РНК [2, 3]. Данные, описывающие регуляцию межклеточного транспорта вируса, указывают на влияние ТБ на множество клеточных факторов, таких как каллоза [4] и белки, ассоциированные с ПД [5, 6].

В дополнение к регуляции межклеточного транспорта, многие вирусы растений влияют на функционирование хлоропластов и хлоропластных белков. Хлоропласти зеленых растений помимо осуществления фотосинтетической функции, синтезируют основные фитогормоны и играют активную роль в защитных ответах растений на патогены. Вирусы, в свою очередь, приспособились использовать энергоресурсы клетки и подавлять противовирусный ответ, воздействуя на хлоропластные белки. Так, например, было показано, что эффективность инфекции ВТМ и репродукция гРНК зависят от активности хлоропластных белков AtpC, RCA, NRIP1 и PsbO, которые необходимы для выполнения фотосинтетической функции и участвуют в регуляции противовирусного ответа [7].

Дальнейшие исследования и поиск клеточных факторов, задействованных в ответах растительной клетки на вирусную инфекцию, расширят наши представления о противовирусных иммунных ответах и о стратегиях, используемых вирусом для успешного заражения.

В настоящей работе исследована роль гена *Nicotiana benthamiana*, кодирующего гомолог ингибитора пептидаз Кунитца, *KPILP*. Как было показано ранее, его экспрессию стимулирует системная вирусная инфекция табака, вызванная ВТМ, и экспрессия вирусного вектора, созданного на основе генома ВТМ, для продукции целевых белков в листьях *N. benthamiana* [8]. Целью данной работы является выявление роли *KPILP* в системе взаимодействий ВТМ-растение. Для достижения поставленной цели были поставлены следующие задачи: (1) выполнить нокдаун *KPILP* при помощи вирус-индукцируемого сайленсинга генов и (2) оценить эффективность заражения и репродукции ВТМ на фоне подавленной экспрессии *KPILP* в листьях табака.

### Материалы и методы

**Получение генноинженерных конструкций.** Для подавления экспрессии *KPILP* была создана конструкция pPVX:frKPILP на основе генома ХВК. 183-нт фрагмент *KPILP* (с 70 по 253 нт кодирующей области) был выбран путем анализа последовательности с помощью ресурса <https://vigs.solgenomics.net/> и клонирован в вектор PVX-BIN19 [9] под контроль дуплицированного субгеномного промотора гена белка оболочки ХВК.

**Условия выращивания растений.** Растения *N. benthamiana* дикого типа выращивали в почве с регуляцией светового и температурного режима: день 16 часов, ночь 8 часов, температура 22 С.

**Агроинфильтрация.** *Agrobacterium tumefaciens* штамм GV3101, трансформированная соответствующими генноинженерными конструкциями, выращивали при 28°С в среде LB, содержащейrifampicin 50 мг/л, гентамицин 25 мг/л, канамицин 50 мг/л. Бактериальную суспензию смешивали с буфером для инфильтрации, содержащим 10 mM MES (рН 5.5) и 10 mM MgSO<sub>4</sub> до финальной OD600 0.01 о.е. при заражении pPVX и pPVX:frKPILP, 0.3–0.4 о.е. при заражении ВТМ: GFP.

**Количественная ПЦР (кПЦР) в режиме реального времени и анализ экспрессии.** Суммарную РНК выделяли из листьев в соответствии с протоколом ExtractRNA (Евроген, Россия). Для обратной транскрипции использовали RevertAid M-MuLV Reverse Transcriptase (Thermo Fisher Scientific, США), согласно протоколу производителя. Анализ экспрессии генов выполняли методом кПЦР в режиме реального времени на матрице кДНК с использованием смеси Eva Green master mix (Синтол, Россия). Список праймеров для кПЦР приведен в таблице 1.

Таблица 1. Олигонуклеотиды для кПЦР

Ген	Прямой праймер	Обратный праймер
PP2A	ATTGCTGCCTGTGGTTATTAC	ATAGACTGAAGTGCTTGATTGG
18S rRNA	ACGGCTACCACATCCAAG	ACTCATTCCAATTACCCAGACTC
KPILP	TGAGCACTGGCGGAATTAAGG	ATACCAATATAACCCACACAATCTG
ТБ	GGTGTGAGCGTGTTCTGG	GCGTCCTGGGTGGTTATAGC
GFP	GCAGAAGAACGGCATCAAG	GCTCAGGTAGTGGTTGTCG

## Результаты

Ранее было показано, что экспрессия гена гомолога ингибитора пептидаз Кунитца (*KPILP*) повышена в корнях, но практически не детектируется в интактных листьях *N. benthamiana*. Индукция его экспрессии в листьях происходит в ответ на заражение ВТМ, причем как в случае системной инфекции, так и в системе транзиентной экспрессии в листьях вирусного вектора на основе ВТМ для продукции целевых белков [8]. При заражении *N. benthamiana* ВТМ развитие системной инфекции сопровождается некрозами и приводит к гибели растения в течение двух недель после заражения (Рис. 1А). Для подтверждения системной инфекции ВТМ до возникновения некрозов выделяли суммарный растворимый белок из инфицированных листьев, разделяли в полиакриламидном геле с последующей окраской Кумасси. В результате наблюдали характерную зону, соответствующую по подвижности белку оболочки ВТМ (17,5 кДа) (Рис. 1Б). Также из этих листьев была выделена РНК и с помощью кПЦР показано, что уровень мРНК *KPILP* резко повышался в ответ на вирусную инфекцию (Рис. 1В).

Для исследования роли гена *KPILP* в ответных реакциях растения на инфекцию ВТМ, была создана модельная система, в которой экспрессию *KPILP* подавляли посредством вирус-индуцируемого сайленсинга. Была получена генетическая конструкция pPVX:frKPILP (Рис. 2А) на основе генома X вируса картофеля (XBK), содержащая фрагмент гена *KPILP*. В качестве контроля использовали вирусный вектор на основе XBK, pPVX (Рис. 2А). Заражение pPVX и pPVX:frKPILP производили с помощью агроинфильтрации: нижние листья молодых растений *N. benthamiana* в возрасте 4–5 недель инфильтрировали бактериальной суспензией, трансформирующей клетки ткани и передающей генетический материал, кодирующий вирусный геном. В результате в клетках листьев происходила репродукция вирусной РНК, синтез вирусных белков и сборка вирусных частиц, которые путем дальнего транспорта распространялись по растению, вызывая так называемую системную инфекцию через 10–14 дней после агроинфильтрации (Рис. 2Б). Растения, зараженные pPVX и pPVX:frKPILP, практически не отличались от интактных растений того же возраста, проявляя незначительную задержку в росте. На верхних листьях наблюдалось изменение пигментации и мозаичность, что являлось свидетельством успешной инфекции. Анализ белковых экстрактов, выделенных из верхних листьев с симптомами инфекции, показал наличие белка оболочки XBK (рис. 2В). Данная модельная система позволила при помощи индуцируемого вирусом сайленсинга эффективно подавить экспрессию *KPILP*: относительное количество мРНК *KPILP* в листьях, зараженных pPVX:frKPILP было в ~10 раз меньше, чем при заражении pPVX (рис. 2Г).

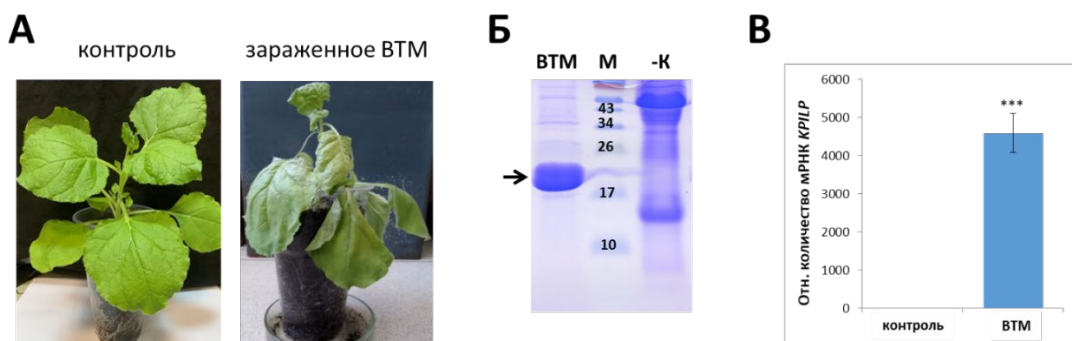


Рисунок 1. Инфекция *N. benthamiana* ВТМ вызывает значительное повышение уровня накопления мРНК KPILP. (А) Зараженное ВТМ растение *N. benthamiana* на 14 день после инокуляции (справа) и контрольное интактное растение того же возраста (слева). (Б) Накопление белка оболочки ВТМ в верхних листьях зараженного растения на 10 день после инокуляции. – К, интактное растение; М, маркеры молекулярного веса. Разделение растворимых белков в 15 % полиакриламидном геле с последующим окрашиванием Кумасси. Стрелкой отмечена зона, соответствующая белку оболочки ВТМ. (В) Относительное количество мРНК KPILP в листьях с системной инфекцией ВТМ по результатам кПЦР. Представлены среднее значение и стандартная ошибка. \*\*\*, p<0.001 (t-критерий Стьюдента).

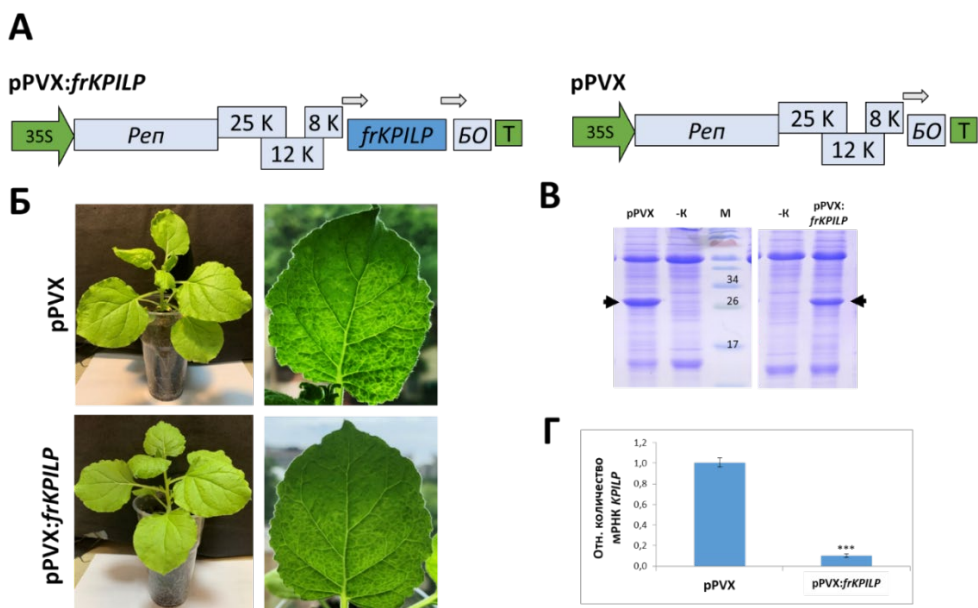


Рисунок 2. Система вирус-индуцируемого сайленсинга на основе X вируса картофеля для нокдауна KPILP. (А) Схемы векторов для инокуляции растений *N. benthamiana* с помощью агронинфилтрации. 35S, промотор 35S РНК вируса мозаики цветной капусты; Реп, ген репликазы; 25K, 12K, 8K, гены транспортных белков; БО, ген белка оболочки; frKPILP, фрагмент последовательности KPILP, использованный для сайленсинга. Серыми стрелками обозначен субгеномный промотор БО. (Б) Растения *N. benthamiana*, инокулированные pPVX или pPVX:frKPILP, с симптомами системной инфекции. (В) Накопление БО XBK в верхних листьях зараженных растений на 10 день после инокуляции. – К, интактное растение; М, маркеры молекулярного веса. Разделение растворимых белков в 12 % полиакриламидном геле с последующим окрашиванием Кумасси. Стрелкой отмечена зона, соответствующая БО XBK. (Г) Относительное количество мРНК KPILP в листьях с системной инфекцией XBK (pPVX или pPVX:frKPILP) по результатам кПЦР. Представлены среднее значение и стандартная ошибка. \*\*\*, p<0.001 (t-критерий Стьюдента).

Для выяснения роли *KPILP* в системе взаимодействий между ВТМ и растением была проведена оценка эффективности инфекции на фоне подавленной экспрессии *KPILP*. В листья с системной инфекцией pPVX:frKPILP, в которых экспрессия *KPILP* снижена, с помощью агроинфилтрации вводили вирусный вектор ВТМ: GFP, созданный на основе генома ВТМ, в котором ген белка оболочки вируса заменен на *GFP* для визуализации распространения инфекции. При заражении ВТМ: GFP происходит только локальное межклеточное распространение вируса (ближний транспорт). Бактериальную суспензию разводили до OD<sub>600</sub>~0,3–0,4, что позволяло визуализировать отдельные фокусы заражения и межклеточное распространение. В листьях с подавленной экспрессией *KPILP* заражение ВТМ: GFP происходит крайне неэффективно и ограничено несколькими фокусами инфекции (Рис. 3А), в отличие от контрольных листьев. Уровень накопления мРНК гена *TБ* ВТМ и *GFP* оказался в три раза ниже в растениях с подавленной экспрессией *KPILP* по сравнению с контрольными, что отражает сниженную эффективность репродукции и межклеточного распространения ВТМ: GFP в этих листьях.

Таким образом, было показано, что *KPILP* необходим вирусу табачной мозаики для быстрого и эффективного заражения и является провирусным агентом.

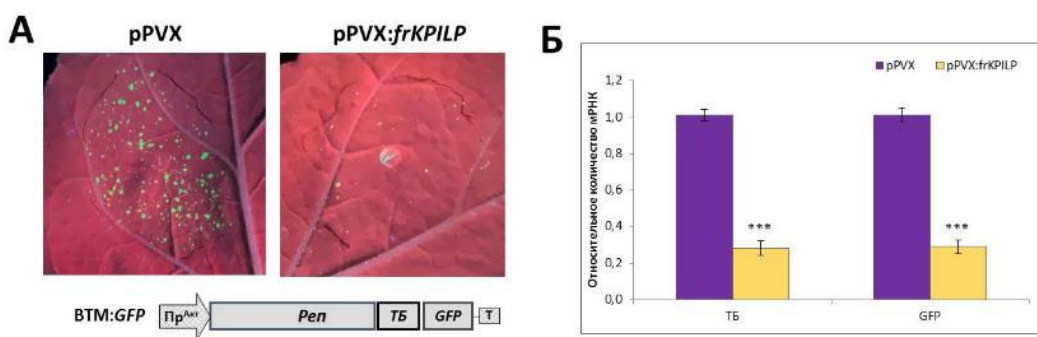


Рисунок 3. Подавление экспрессии *KPILP* негативно влияет на эффективность заражения и репродукцию ВТМ. (А) Изображения листьев на 4 день после агроинфилтрации ВТМ: GFP в ультрафиолетовом свете. Снизу приведено схематическое изображение вирусного вектора: ПрАкт, промотор гена *Act2 Arabidopsis thaliana*; Реп, ген репликазы, ТБ, ген транспортного белка; Т, терминатор транскрипции. (Б) Относительное количество мРНК ТБ и GFP в листьях, описанных в (А), по результатам кПЦР. Представлены среднее значение и стандартная ошибка. \*\*\*, p<0,001 (t-критерий Стьюдента).

### Обсуждение

Вирусы растений используют различные стратегии, которые обеспечивают им успешное заражение и распространение по всему растению. Настоящее исследование посвящено изучению взаимодействий между ВТМ и растением *N. benthamiana*, в котором ген *KPILP* имеет регуляторную, а возможно и решающую, роль. В зрелых интактных листьях экспрессия *KPILP* подавлена, но при попадании в ткани листа ВТМ его экспрессия резко активируется. В предшествующей работе [8] было показано, что уровень мРНК *KPILP* в корнях существенно выше, чем в фотосинтетически активных зрелых листьях. Кроме того, в инфицированном ВТМ листе табака с проявлением симптомов в виде мозаики в светло-зеленых зонах с измененной пигментацией и активной репродукцией вируса уровень мРНК *KPILP* существенно выше, чем в темно-зеленых зонах. Данное наблюдение указывает на существование обратной взаимосвязи между фотосинтезом и экспрессией *KPILP*: (1) экспрессия *KPILP* активна в корнях, где не происходит фотосинтез; (2) при инфекции ВТМ происходят структурные и функциональные изменения хлоропластов наряду с активацией *KPILP*. Нарушение работы хлоропластов приводит к запуску передачи регуляторных сигналов от пластид в ядро, влияя на экспрессию ядерных генов, ассоциированных с фотосинтезом [10, 11]. Так, например, исследования мутантных эмбрионов *ise2* стадии средней торпеды выявили участие кодируемой ядром хлоропластной РНК хеликазы ISE2 в регуляции межклеточного трафика макромолекул и формировании плазмодесм,

а подавление экспрессии *ise2* в листьях *N.benthamiana* при помощи вирус-индуцируемого сайленсинга приводит к хлорозу и усилению межклеточного трафика за счет образования вторичных ПД [12]. Взаимосвязь между пластидами, экспрессией ядерных генов и регуляцией межклеточного трафика лежит в основе гипотезы о том, что хлоропластные сигналы регулируют не только свой собственный метаболизм, но и межклеточный транспорт, таким образом являясь ключевыми регуляторами обеспечения всех жизненных процессов и защитных реакций [13]. Хотя не было показано локализации *KPILP* в хлоропластах, но обнаружено существование обратной корреляции между фотосинтезом и активацией экспрессии *KPILP* на фоне вирусной инфекции. Остается открытым вопрос, влияет ли ВТМ на экспрессию *KPILP* напрямую, запуская таким образом подавление фотосинтетической активности хлоропластов, или это воздействие опосредованно транскрипционными факторами или другими клеточными белками. Результаты, представленные в данной работе, убедительно показывают, что при подавлении экспрессии *KPILP* растения становятся более устойчивыми к инфекции ВТМ, а эффективность вирусной репродукции становится существенно слабее, чем в контрольных растениях. Учитывая существование обратной связи между экспрессией *KPILP* и функционированием хлоропластов, можно предположить, что ВТМ, вероятно, «использует» *KPILP* для подавления их активности, тем самым получая возможность влиять как на противовирусный иммунитет, так и регулировать межклеточный транспорт.

### **Заключение**

Данное исследование демонстрирует важную роль клеточного вирус-индуцируемого гена *KPILP* в инфекции ВТМ. В растениях с подавленной экспрессией *KPILP* эффективность заражения и уровень репродукции ВТМ резко снижены. Таким образом, мы заключили, что *KPILP* является провирусным клеточным фактором.

### **Благодарности:**

*Работа выполнена при финансовой поддержке Российского научного фонда (грант № 19–74–20031).*

### **Литература**

- [1] C. Liu, R.S. Nelson, *Frontiers in Plant Science*, 2013, **4**, 12.
- [2] M. Heinlein, *Virology*, 2015, **479–480**, 657.
- [3] E.V. Sheshukova *et al.*, *Frontiers in Plant Science*, 2020, **11**, 959.
- [4] S. Amsbury, P. Kirk, Y. Benitez-Alfonso, *Journal of Experimental Botany*, 2017, **69**, 105.
- [5] S. Ueki, V. Citovsky, *Plant Signaling & Behavior*, 2014, **9**, e27899.
- [6] Y.L. Dorokhov *et al.*, *Plants*, 2019, **8**, 595.
- [7] D. Bhattacharyya, S. Chakraborty, *Molecular Plant Pathology*, 2017, **19**, 504.
- [8] E.V. Sheshukova *et al.*, *Frontiers in Plant Science*, 2017, **8**, 2137.
- [9] T.V. Komarova *et al.*, *Biochemistry (Moscow)*, 2006, **71**, 846.
- [10] T. Crawford, N. Lehotai, Å. Strand, *Journal of Experimental Botany*, 2018, **69**, 2783.
- [11] J.O. Brunkard, T.M. Burch-Smith, *Essays in biochemistry*, 2018, **62**, 95.
- [12] T.M. Burch-Smith, P.C. Zambryski, *Current Biology*, 2010, **20**, 989.
- [13] M.F. Azim, T.M. Burch-Smith, *Current Opinion in Plant Biology*, 2020, **58**, 48.